14

# Разработка оборудования и методик для магнитно-резонансной томографии легких лабораторных животных с применением гиперполяризованного <sup>129</sup>Хе

© Я.В. Фаттахов<sup>1</sup>, А.Р. Фахрутдинов<sup>1</sup>, Д.А. Коновалов<sup>1</sup>, В.Л. Одиванов<sup>1</sup>, В.А. Шагалов<sup>1</sup>, А.А. Баязитов<sup>1</sup>, Ф.В. Баширов<sup>2</sup>, В.А. Маркосян<sup>2</sup>, В.М. Водовозов<sup>3</sup>, А.В. Павленко<sup>3</sup>, Р.Ф. Курунов<sup>3</sup>, В.М. Баев<sup>3</sup>, М.В. Кулешов<sup>3</sup>, В.В. Еремкин<sup>3</sup>, А.А. Батурина<sup>3</sup>, М.С. Сирко<sup>3</sup>

Поступило в Редакцию 29 мая 2025 г. В окончательной редакции 11 августа 2025 г. Принято к публикации 21 августа 2025 г.

Отработана методика получения ЯМР-томограмм легких лабораторных животных с применением гипер-поляризованного ( $\Gamma\Pi$ ) <sup>129</sup>Xe. Создана установка для получения  $\Gamma\Pi$  <sup>129</sup>Xe, магнитно-резонансный томограф адаптирован для работы на ядрах ксенона, разработан и изготовлен аппарат для управления дыханием лабораторных животных. Отработана технология трахеостомии лабораторных животных для обеспечения их дыхания при получении томограмм легких. Проведен эксперимент по получению томограмм легких лабораторных животных с применением  $\Gamma\Pi$  <sup>129</sup>Xe.

**Ключевые слова:** магнитно-резонансная томография, гиперполяризованный <sup>129</sup> Xe, искусственная вентиляция легких, лабораторные животные.

DOI: 10.61011/PJTF.2025.22.61585.20392

Разработка методов визуализации легочной ткани пациентов приобрела особое значение в связи с эпидемией COVID. Магнитно-резонансная томография (MPT) достаточно давно применяется в медицинской практике. Уровень поляризации большинства видов стабильных ядер, применяемых в биомедицине (<sup>1</sup>H, <sup>13</sup>C, <sup>15</sup>N и т.п.), составляет  $10^{-6}-10^{-5}$ . При таких параметрах даже при использовании сильных магнитных полей МРТ становится относительно малочувствительным методом. Гиперполяризация позволяет увеличить уровень поляризации ядерных спинов вплоть до теоретического уровня 100%, что повышает чувствительность МРТ на несколько порядков. Помимо получения информации по визуализации процессов на молекулярном уровне применение гиперполяризованных соединений при МРТ-сканировании позволяет существенно снизить время проведения исследования. При этом чувствительность процесса сканирования не зависит от силы магнитного поля МРТ-сканера. Это дает потенциальную возможность использовать недорогие низкополевые МРТ-сканеры, что сделает процедуру МРТ существенно более дешевой.

Но самым главным является то, что данный подход делает возможным неинвазивное обследование легких с такой высокой детализацией, которую невозможно получить при помощи обычной МРТ и компьютерной томографии. Хорошая растворимость <sup>129</sup>Хе и его большие химические сдвиги (более 200 ppm) делают его уникальным для визуализации легочного газообмена —

наиболее фундаментальной функции легких. Гиперполяризованный (ГП)  $^{129}$ Хе демонстрирует отчетливые резонансные частоты в различных средах дыхательной системы: в воздушном пространстве, интерстициальном барьере и красных кровяных тельцах (эритроцитах) [1]. Методы ксеноновой томографии позволяют коренным образом улучшить качество функциональной диагностики легких, дают возможность за короткое время отследить путь прохождения газа из легких в кровеносные сосуды и быстро выявить дефекты легочной структуры, препятствующие эффективному газообмену в тканях [1-6].

Данный метод активно распространяется за рубежом. В России также предпринимаются усилия по созданию отечественного оборудования для производства  $\Gamma\Pi$ -газов [7], в том числе  $\Gamma\Pi$  <sup>129</sup>Xe, и последующего внедрения ксеноновой томографии в медицинскую практику [8].

В связи с этим разработка протоколов, методических подходов и модификация оборудования для работы с  $\Gamma\Pi$  <sup>129</sup>Хе становятся особенно актуальными. Настоящее исследование нацелено на расширение возможностей магнитно-резонансной томографии для работы на ядрах  $\Gamma\Pi$  <sup>129</sup>Хе с целью визуализации легких.

В качестве первого этапа работ была запланирована томография легких лабораторных животных.

Наиболее эффективным методом поляризации благородных газов является метод оптической накачки атомов щелочных металлов с последующим спиновым обменом

<sup>1</sup> Казанский физико-технический институт им. Е.К. Завойского ФИЦ Казанский научный центр РАН, Казань, Россия

<sup>&</sup>lt;sup>2</sup> Казанский государственный медицинский университет Минздрава России, Казань, Россия

<sup>&</sup>lt;sup>3</sup> АО "НИИЭФА им. Д.В. Ефремова", Санкт-Петербург, Россия E-mail: yfattakhov@yandex.ru

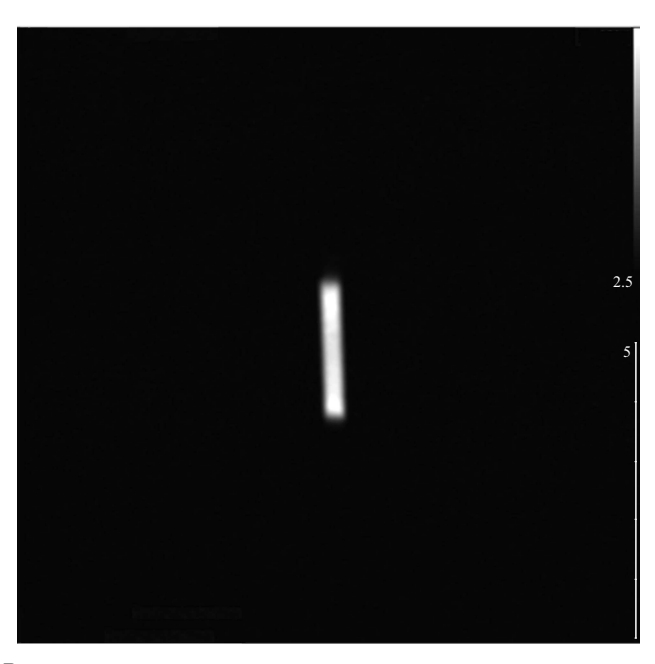
с ядрами атомов благородных газов (спин-обменная оптическая накачка или SEOP) [6,8]. На основе этого способа поляризации ядер  $^{129}$ Xe в АО "НИИЭФА" создан первый в России полномасштабный экспериментальный образец поляризатора  $^{129}$ Xe, обеспечивающий в одном рабочем цикле за время не более 40 min получение до пяти медицинских доз ГП  $^{129}$ Xe со степенью поляризации порядка 50 %.

На момент начала работ в распоряжении авторов находился разработанный КФТИ ФИЦ КазНЦ РАН и ООО "Градиент МРТ" опытный образец магнитнорезонансного (МР) томографа на постоянном магните с индукцией магнитного поля 0.41 Т и зазором 206 mm [9], предназначенный для работы на протонах, для которых резонансная частота в нашем поле составляет ~ 17.5 MHz. Поэтому для работы с ядрами <sup>129</sup>Хе, резонансная частота для которых составляет порядка 4.84 MHz, требовалась значительная доработка радиочастотного блока МР-томографа. В первую очередь это касалось приемопередающей системы, предварительного усилителя, приемника сигналов ЯМР, передатчика радиоимпульсов, синтезатора радиочастот.

Предварительные измерения и адаптация томографа к работе на ксеноне проводились на ядрах, идентичных по ЯМР-спектральным характеристикам ГП  $^{129}$ Хе. Лучше всего для этих целей подходят ядра  $^{23}$ Nа, поскольку они имеют близкое гиромагнитное отношение: в нашем поле резонансная частота для  $^{23}$ Nа будет порядка  $^{23}$ Nа, является хлорид натрия (NaCl). Все предварительные измерения и настройка аппаратуры проводились нами на водных растворах NaCl. Благодаря хорошей растворимости NaCl в воде ( $^{35.9}$  g при  $^{+21}$  °C) можно добиться высокой концентрации ядер  $^{23}$ Nа и получить хорошее соотношение сигнал/шум для сигнала MPT.

Для проверки работы томографа на частотах, близких к резонансной частоте ядер  $\Gamma\Pi$  <sup>129</sup>Xe, приемопередающая система была перенастроена на резонансную частоту ядер <sup>23</sup>Na. В ходе экспериментов были получены изображения фантомов, содержащих водный раствор NaCl. Одно из них приведено на рис. 1. Кроме того, была получена концентрационная зависимость амплитуды сигнала спада свободной индукции для получения данных о предельной чувствительности приемного тракта томографа при работе с ядрами <sup>23</sup>Na. Для работы на ядрах  $\Gamma\Pi$  <sup>129</sup>Xe приемопередающая система и радиочастотный блок перенастраиваются с частоты 4.63 MHz на частоту 4.84 MHz. Датчики настраиваются на резонансную частоту с помощью устройства развязки и согласования.

Во время исследования легких на МР-томографе лабораторное животное должно быть усыплено и находиться под анестезией. В это время функция дыхания должна осуществляться с помощью специального аппарата искусственной вентиляции легких (ИВЛ) [10]. Аппарат ИВЛ должен осуществлять периодическое переключение подачи дыхательной смеси или ГП-ксенона,



**Рис. 1.** Изображение фантома с водным раствором NaCl, полученное с помощью датчика малого диаметра 21 mm. Импульсная последовательность: спин—эхо. Режимы съемки: время повтора 500 ms, время эха 20 ms, число накоплений 2, число строк на изображении 128, время получения томограммы 2 min 10 s

а также обеспечивать задержку дыхания на время МРТ-исследования.

Время жизни ксенона в гиперполяризованном состоянии может составлять до нескольких часов. При этом время его релаксации очень сильно зависит от газов и материалов, с которыми он соприкасается. Материалы не должны содержать ферромагнитные примеси [11]. Это исключает применение в конструкции специального аппарата ИВЛ таких распространенных немагнитных материалов, как латунь и нержавеющая сталь. Кроме того, ГП-ксенон очень легко деполяризуется парамагнитным кислородом [12]. В связи с этим возникают особые требования к последовательности подачи газов в дыхательные пути лабораторного животного и к узлам транспортировки и подачи ГП-ксенона.

- 1. Для транспортировки ГП <sup>129</sup>Хе должны применяться медицинские пакеты с клапанами, изготовленными из тедлара (Tedlar<sup>®</sup>), допущенные в медицинской практике и оказывающие минимальное воздействие на релаксационные процессы. Для замедления релаксации желательно размещать транспортные пакеты во внешнем однородном магнитном поле. Емкости, в которых временно находится ГП-ксенон, должны быть непроницаемыми для кислорода.
- 2. Перед подачей ГП  $^{129}$ Xe в дыхательные пути необходимо вытеснить из них кислород, осуществив продувку или нейтральным к ГП-ксенону газом, например азотом, или ГП  $^{129}$ Xe.

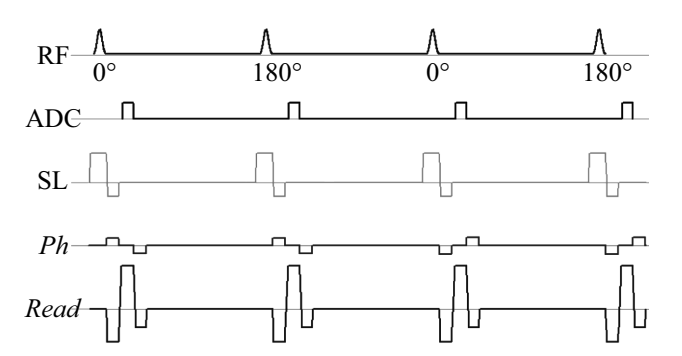
3. Все узлы подачи, коммутации и регулировки потока ГП-ксенона должны быть выполнены из материалов с минимальными деполяризующими свойствами.

Для получения изображений на образцах с гипер-поляризованным газом была разработана импульсная программа "Быстрое градиентное эхо", основанная на применении возбуждающих импульсов с малыми углами поворота вектора намагниченности (в нашем случае  $\sim 9^{\circ}$ ), что позволяет выполнить полный цикл сканирования изображения с одной порцией газа. Программа была проверена на объектах с обычными жидкими веществами: с ядрами протонов и  $^{23}$ Na.

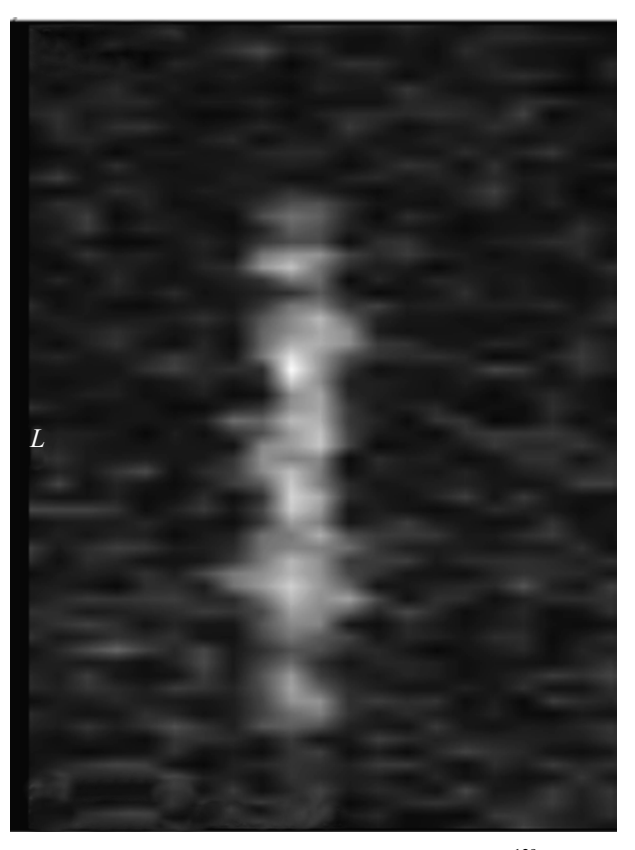
Диаграмма импульсной программы приведена на рис. 2. Для проверки работы всех систем было проведено МРТ-исследование на фантоме, заполненном ГП  $^{129}$ Хе. Томограмма, полученная в результате сканирования, приведена на рис. 3. Режим сканирования: время повтора 60 ms, время эха 5.97 ms, число строк на изображении 32, угол импульса  $\sim 9^\circ$ .

Условия получения изображений для образцов с ядрами  $^{23}$ Nа и ГП  $^{129}$ Хе существенно различаются. При сканировании образцов с ядрами <sup>23</sup> Na применяется стандартная методика получения Т1 взвешенных изображений (Т1ВИ). В данном случае матрица изображения составляла 128 × 256 точек: 128 значений фазокодирующего градиента, 256 точек оцифровки сигнала эха. Было произведено два накопления. Поэтому и соотношение сигнал/шум, и пространственное разрешение достаточно высокие. При сканировании образцов с ядрами ГП <sup>129</sup>Хе такой подход неприменим, так как при каждом радиочастотном импульсе происходит частичная деполяризация ГП-ядер. Поэтому применяется методика не спинового, а градиентного эха с малым углом возбуждения (fGRE). Матрица изображения составляла 32 × 32 точек. Время сканирования в методике T1BИ составляло более 2 min, а в методике fGRE - 5 - 6 s.

Для достижения запланированных целей работы дальнейшие МРТ-эксперименты проводились на лабораторных животных — крысах. Последовательность проведения эксперимента: под наркозом проводится хирур-



**Рис. 2.** Фрагмент диаграммы импульсной программы "Быстрое градиентное эхо". RF — радиочастотные импульсы  $(0^\circ/180^\circ$  — фаза), SL — селективный градиент, Read — считывающий градиент, Ph — фазокодирующий градиент, ADC — область оцифровки сигнала.

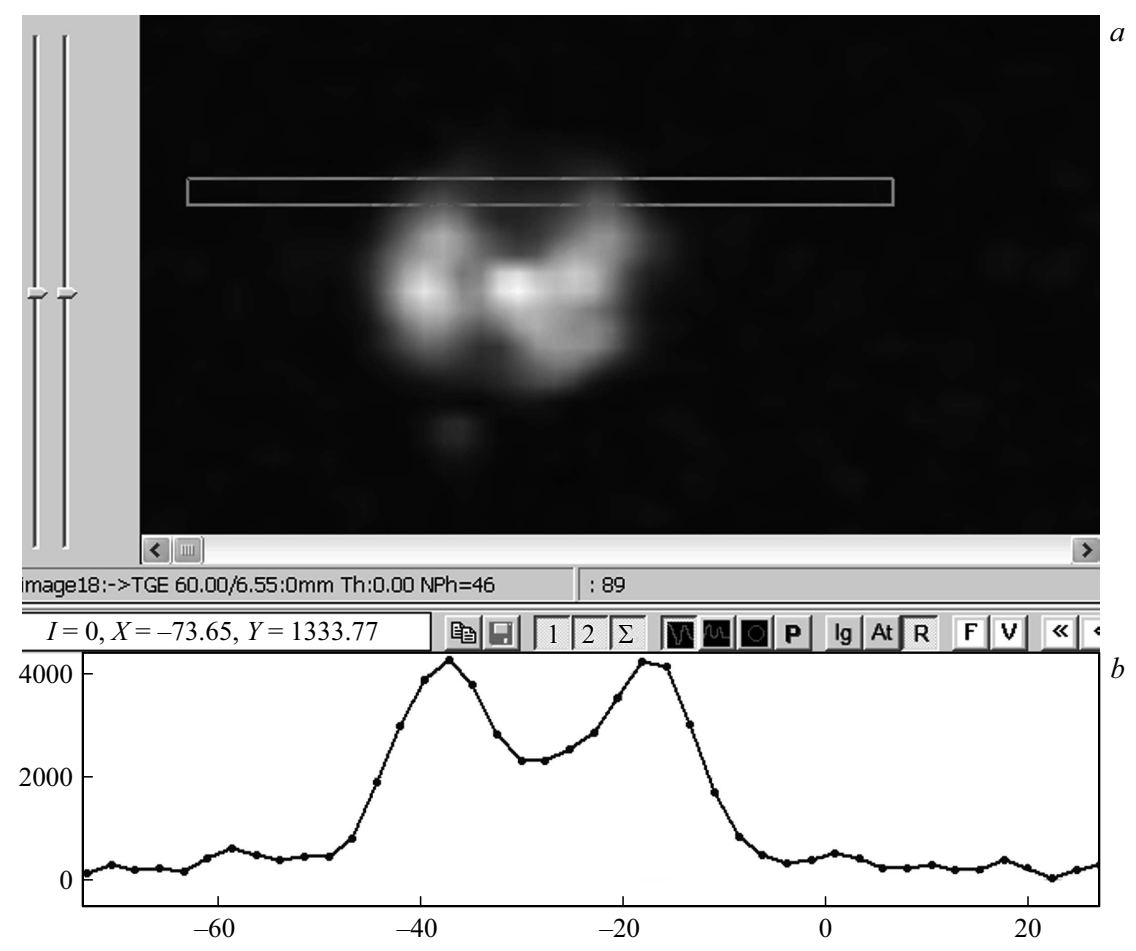


**Рис. 3.** Томограмма фантома, заполненного  $\Gamma\Pi^{129}$ Xe, полученная с помощью датчика малого диаметра 21 mm.

гическая операция трахеостомия, затем подключается система ИВЛ и проводится исследование легких с использованием  $\Gamma\Pi$  <sup>129</sup>Xe на MP-томографе.

Оперативное вмешательство на лабораторных животных осуществлялось с соблюдением условий асептики и антисептики под общей анестезией, индуцированной внутрибрюшинным введением препаратов. Оперативный доступ формировался продольным разрезом по срединной линии шеи на уровне от средних и верхних третей и до яремной вырезки. Затем тупым способом с помощью зажима по типу "москит" послойно формировали доступ к трахее. Далее скальпелем производился продольный разрез II-IV полуколец трахеи снизу вверх, чтобы не повредить паращитовидную железу. Края раны разводились микрохирургическим пинцетом, и внутрь трахеи устанавливался катетер. После этого рана ушивалась сверху и снизу катетера, к которому подключался аппарат ИВЛ, и животное помещалось в аппарат МРТ с последующим исследованием легких с использованием  $^{129}$  Xe.

Обычный дыхательный цикл состоит из трех этапов: вдох, задержка дыхания и выдох. На этапе вдоха в дыхательную магистраль с помощью управляемого клапана вдоха подается воздух. На этапе задержки все управляемые клапаны закрыты, поступление газов в легкие прекращается. На этапе выдоха дыхательная магистраль



**Рис. 4.** Фрагмент рабочего окна приложения для управления томографом. a — томограмма легких лабораторного животного, заполненных  $\Gamma\Pi$  <sup>129</sup>Хе с помощью аппарата ИВЛ, сечение трансаксиальное (поперечное). b — график, характеризующий распределение яркостей изображения легких вдоль длинной стороны прямоугольника на изображении.

с помощью соответствующего управляемого клапана соединяется с атмосферой. На этом этапе за счет эластичности легких лабораторного животного происходит естественный выдох.

На время проведения МРТ-исследования легкие лабораторного животного заполняются ГП <sup>129</sup>Хе. Для этого предварительно осуществляются продувочный и измерительный дыхательные циклы. Продувочный дыхательный цикл предназначен для замещения в легких подопытного животного дыхательной смеси газов (воздуха), содержащей парамагнитный кислород, нейтральным азотом или ГП <sup>129</sup>Хе. На этапе продувочного вдоха в дыхательную магистраль с помощью соответствующего управляемого клапана аппарата ИВЛ на короткое время подается ГП <sup>129</sup>Хе. Затем сразу следует этап выдоха. Для полного вытеснения воздуха из легких продувочный дыхательный цикл повторяется несколько раз. Длительность и количество повторов продувочного цикла подбираются опытным путем.

Измерительный дыхательный цикл, как следует из его названия, осуществляется во время проведения МРТ-исследования. Цель измерительного дыхательного

цикла — наполнить легкие подопытного животного  $\Gamma\Pi^{129}$ Хе на время, необходимое для проведения исследования. На этом этапе в дыхательную магистраль с помощью соответствующего управляемого клапана аппарата ИВЛ на все время, необходимое для МРТ съемки (порядка нескольких секунд), подается  $\Gamma\Pi^{129}$ Хе. После заполнения легких аппарат ИВЛ вырабатывает синхроимпульс для запуска МРТ-исследования. В течение всего времени исследования конфигурация и объем легких подопытного животного не меняются. Завершается измерительный цикл этапом выдоха.

На рис. 4 представлено рабочее окно приложения для управления томографом с томограммой легких лабораторного животного. Сечение трансаксиальное (поперечное), т.е. ортогональное продольной оси тела животного. На изображении видны оба легких лабораторного животного. Режим сканирования: время повтора 60 ms, время эха 6.55 ms, число строк на изображении 46. Время получения данной томограммы менее 3 s.

Под окном с изображением (рис. 4) выведен график распределения яркостей вдоль длинной стороны прямоугольника, накладываемого на изображение [13].

На данном рисунке число точек определяется числом точек матрицы изображения, находящихся внутри области выделения на изображении вдоль длинной стороны прямоугольника. По точкам вдоль короткой стороны производится усреднение.

В заключение отметим, что авторами создан первый в России полномасштабный экспериментальный образец поляризатора ГП  $^{129}$ Хе. Доработан протонный MP-томограф для работы на ядрах  $\Gamma\Pi^{129}$ Xe: рассчитаны и изготовлены оригинальные датчики для исследований лабораторных животных и фантомов, модернизирована схема смесителей предварительного усилителя, разработаны новые фильтры низкой частоты с необходимыми характеристиками для синтезатора частот, разработано устройство управления на программируемой логической интегральной схеме приемником сигнала ЯМР, увеличена выходная мощность передатчика и усилителя тока градиентов. Отработана методика операции трахеостомии и наркоза лабораторных животных. Разработан аппарат для искусственной вентиляции легких лабораторных животных, обеспечивающий микроконтроллерное управление подачей необходимых газов и контроль параметров дыхания.

Таким образом, показана работоспособность всех технологий, применяемых для визуализации легких лабораторных животных с использованием  $\Gamma\Pi$  <sup>129</sup>Xe. Это позволит авторам в дальнейшем разработать методику диагностики легких пациентов без лучевой нагрузки.

### Финансирование работы

Работа по созданию поляризатора финансировалась частным учреждением "Наука и инновации" ГК "Росатом" и выполнялась по договору № 774/302-Д от 20.09.2021 г. ("Лазерная поляризация по ядерному спину благородных газов"). Проведение экспериментов по визуализации легких лабораторных животных с использованием <sup>129</sup>Хе на МР-томографе выполнялось по договору № 20588/251 от 29.08.2023 г. между ФИЦ КазНЦ РАН и АО "НИИЭФА". Экспериментальная установка для получения МР-томограмм частично финансировалась за счет государственного задания ФИЦ КазНЦ РАН (номер регистрации в ЕГИСУ 122011800133-2).

# Соблюдение этических стандартов

Все применимые международные, национальные и/или институциональные принципы ухода и использования лабораторных животных были соблюдены.

### Конфликт интересов

Авторы заявляют, что у них нет конфликта интересов.

# Список литературы

- Yu.V. Chang, J.D. Quirk, I.C. Ruset, J.J. Atkinson, F.W. Hersman, J.C. Woods, Magn. Reson. Med., 71 (1), 339 (2014). DOI: 10.1002/mrm.24992
- [2] R.L. Eddy, G.H. Xu, J.A. Leipsic, J.M. Leung, D.D. Sin, C.S. Hall, R.C. Tam, J. Vis. Exp., 12, 206 (2024). DOI: 10.3791/66257
- [3] A.M. Matheson, M.J. McIntosh, H.K. Kooner, J. Lee, V. Desaigoudar, E. Bier, B. Driehuys, S. Svenningsen, G.E. Santyr, M. Kirby, M.S. Albert, Y. Shepelytskyi, V. Grynko, A. Ouriadov, M. Abdelrazek, I. Dhaliwal, J.M. Nicholson, G. Parraga, Radiology, 305 (2), 466 (2022). DOI: 10.1148/radiol.220492
- [4] A. Costelle, J. Lu, S. Leewiwatwong, B. Westerhof, D. Mummy, S. Rajagopal, B. Driehuys, J. Appl. Physiol., 138 (3), 623 (2025). DOI: 10.1152/japplphysiol.00440.2024
- [5] J.M. Wild, F.V. Gleeson, S. Svenningsen, J.T. Grist, L.C. Saunders, G.J. Collier, M. Sharma, S. Tcherner, A. Mozaffaripour, A.M. Matheson, G. Parraga, J. Magn. Reson. Imaging, 59 (4), 1120 (2024). DOI: 10.1002/jmri.28940
- [6] Г.Ю. Григорьев, А.С. Лагутин, ЖТФ, **92** (9), 1277 (2022). DOI: 10.21883/JTF.2022.09.52919.65-22 [G.Y. Grigoriev, A.S. Lagutin, Tech. Phys., **67** (9), 1089 (2022). DOI: 10.21883/TP.2022.09.54672.65-22].
- [7] A. Makarchenko, V. Kuzmin, K. Safiullin, M. Tagirov, Phys. Rev. A, 106 (2), 023101 (2022).
   DOI: 10.1103/PhysRevA.106.023101
- [8] В.М. Водовозов, А.В. Павленко, Р.Ф. Курунов, В.М. Баев, М.В. Кулешов, В.А. Чумичёв, В.В. Ерёмкин, А.А. Батурина, в сб. Междунар. конф. "ХХУ Харитоновские тематические научные чтения. Современные лазерные технологии" (ФГУП "РФЯЦ-ВНИИЭФ", Саров, 2024).
- [9] Я.В. Фаттахов, В.Л. Одиванов, А.А. Баязитов, А.Р. Фахрутдинов, В.А. Шагалов, Изв. РАН. Сер. физ., 88 (7), 1077 (2024). DOI: 10.31857/S0367676524070124 [Ya.V. Fattakhov V.L. Odivanov, A.A. Bayazitov, A.R. Fakhrutdinov, V.A. Shagalov, Bull. Russ. Acad. Sci. Phys., 88 (7), 1089 (2024). DOI: 10.1134/S106287382470713X].
- Z.I. Cleveland, R.S. Virgincar, Y. Qi, S.H. Robertson, S. Degan,
  B. Driehuys, NMR Biomed., 27 (12), 1502 (2014).
  DOI: 10.1002/nbm.3127
- [11] J. Schmiedeskamp, H.J. Elmers, W. Heil, E.W. Otten, Y. Sobolev, W. Kilian, H. Rinneberg, T. Sander-Thommes, F. Seifert, J. Zimmer, Eur. Phys. J. D, 38 (3), 445 (2006). DOI: 10.1140/epjd/e2006-00052-0
- [12] C.J. Jameson, A.K. Jameson, J.K. Hwang, J. Chem. Phys., **89** (7), 4074 (1988). DOI: 10.1063/1.454842
- [13] В.Л. Одиванов, Я.В. Фаттахов, А.Р. Фахрутдинов, В.А. Шагалов, Свидетельство о государственной регистрации программ для ЭВМ № 2022685374 (22.12.2022).